

建設省土木研究所 正会員 須賀義之

1. はじめに

河川工事上、流砂因数の重要性はひろく認識されているところであり、浮遊流砂因数に関する多くの研究が行われてきました。特に最近の傾向として、渓源個所、河口部、あるいは貯水池の埋没の問題や河床変動などに関連して、浮遊流砂因数への依存度はきわめて大きくになっていみるに思われる。

しかし、現在の浮遊流砂公式は定性的にはともかくも、定量的に実際面からの要請を満足するにはほど遠い。過去の研究の多くは、均一粒径がそれに近い混合度の河床材料に基づく実験または実測によるものであり、日本の河川のように一般に比較的混合度の大きい河床材料の河川では、その適合性は十分ではない。このことは多くの河川技術者により痛感されているところであり、これを打開するため(1)(2)に建設省においては全国的に規模で河川の実測が開始された。ここでは、すでに発表された資料に基づき、特に実用面に着眼を置いて混合粒径特性の影響を考慮し、次の諸表の検討を行った。

- (1) 浮遊流砂因数として選ばれている代表的なLane-Kalinische公式およびEinstein公式について、実測値に基づいて検討し、一般的な問題点として考察する。
- (2) 浮遊砂因数の理論式、および理論式の実用上の問題を挙げ、理論追求の限界について考察する。
- (3) 実用算定公式の因数係数、およびその係数については実測値に基づいて検討する。

2. 実測資料に基づく浮遊流砂量公式の適合性

浮遊流砂の観測は全国約10河川において開始されている。まだ統計についてばかりで、資料数も十分ではなく、測定時の流量範囲もひろくはないが、その結果は流砂因数を河川工事的には実際面から離れておらず、より深い意味で実験値と一致する。図-1は浮遊流砂と河床材料の粒度分布の關係の例で、浮遊砂の粒径が非常に小さいことを示している。大きい流量時の資料は少ないが、この傾向はいずれの河川の資料についてもいえることであって、平均粒径が非常に大きい河川でも例外ではない。Einsteinは実用的見地から河床材料中の10%以下に存在する粒径範囲を Wash load としている。しかし、この定義にしたがうと浮遊砂の90~100%が Wash load ということになる。濃度分布式にしたがうものは Wash load ではないのであり、ここでは浮遊物質の中から特に Wash load を区別していとする利根川の例と同様の立場を取り、Wash load を含んだままの資料が解析に用いられた。

各種の流量時の浮遊砂量の実測値を Lane-Kalinische

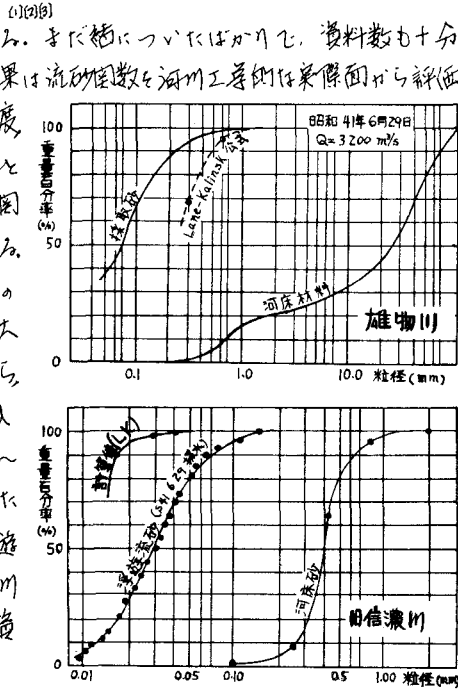


図-1 浮遊砂と河床材料の粒度分布

式あるいはEinstein式による計算値とは、総遊砂量 Q_s と流量 Q との関係において、実測の行われた河川毎に検討され報告がなされた。なかでは、長良川、吉作川及び四信濃川が実測時の流量の範囲が大きく、測定が数多く行われた。これらの河川の例はLane-Kalinsek式による計算値との比較をおると、長良川の例では数倍程度の誤差でいい良い値を示してあるが、吉作川の例では実測値に比べて計算値はかなり小さく、反対に四信濃川の例ではかなり大きくなっている。全実測資料を通じて、流砂量だけについてみるとほぼ次のことが言えようであろう。

(1) Lane-Kalinsek式はなぜかは実測値に近い傾向を示していながら、10倍から100倍近い誤差を示す場合が必要がある。

(2) Einstein式は粒径が少し大きくなると遮蔽率が大きくなり、遊砂量がゼロとなる。平均粒径が1ミリ以上の河川への適用は困難とすべきであろう。

(3) 修正Einstein式は粒径の大きい河川ではEinstein式以上に適合度が悪い。

次に、流砂量の物理的因数として総流砂量のほかに粒差別の流砂量が重大な意義を有する。

図-1の例は表-1の流砂量測定時のもので、

横断面平均の遊砂の粒度分布を示すが、遊砂量式の粒差別流砂量の精度は一層不明確なものといわれなければならない。四信濃川の場合、0.073%以下の砂は全体の1.56%であるが、これをさらに4つに分けて、70~2000%までの10種の流量についてLane-Kalinsek式によつて計算が行はれた。その結果表-2のようにあるが、いずれのケースにおいても90%くらいの流砂量が一番小さい0.015%/mの砂で占められ、一番大きい0.073%の砂にいたっては0.1%余りにしかならない。計算値は粒径の区分の仕方に依るても、その結果が大きくなってしまうである。

Einstein式は遮蔽率、Lane-Kalinsek式は粒度の取扱いに欠点があることが、芦田道上(5)によって実験的に指摘されているが、後者の場合には混合粒度の取り扱い方が十分ではない。このように、これらの式は定量的にはむとより、定性的にも疑問があり、信頼性は十分とはいえない。

3. 遊砂流砂函数とその理論追究の限界

河床材料の混合度の大きい日本の河川では、非常に細かい遊砂が観測され、河床材料と遊砂の粒度分布は一般に大いに異なる。遊砂流砂函数では特に混合粒度の影響が検討されなければならぬ。

遊砂流砂函数は濃度分布と速度分布の積として与えられる。両分布式をそれぞれ

$$\frac{C}{C_0} = \left(\frac{h-y}{h-a} \frac{a}{y} \right)^{\frac{W}{KU_m}} \quad (1) \quad \frac{U}{U_m} = A + \frac{1}{K} \log_e \frac{y}{y_s} \quad \therefore \frac{U}{U_m} = 1 + \frac{U_m}{KU_m} \left(1 + \log_e \frac{y}{y_s} \right) \quad (2)$$

これれば、遊砂流砂量 $q_s = \int_a^h C u dy$ である。ここに、 C は濃度(岩種)、 C_0 は河床から $y=a$ の處の濃度、 $U_m = \sqrt{ghI}$ 、 h は水深、 I はエネルギー勾配、 K はカルマン定数、 y_s は沈降速度、 u は y の處の流速、 u と U_m は平均流速である。Einstein(6)あるいは吉川(7)によれば、遊砂流砂量 q_s は、

表-1 植物川と四信濃川の流砂量

	植物川(木田橋)	四信濃川(高橋)
実測値	25.97 cm	4.26 cm
Lane-Kalinsek式	1.44	160
Einstein式	0	—
濃度横断変化	約まろん	約まろん
測定日	昭和6.29 満水時	昭和6.29
流量 / 針孔流量	3100 / 480	900 / 2100

表-2 粒径別流砂量(四信濃川)

	平均粒径 d [mm]	0.013	0.041	0.078	0.115	その他
河床材料の混合度	0.00314	0.00319	0.00319	0.00499	0.0156	
流砂量(%)	0.1%	0.9%	9%	10%	100%	

$$g_s = C_a \frac{a U_*}{0.21 b K} \left\{ \left(\frac{U_m}{U_*} - 1 \right) I_1 + I_2 \right\} \quad (3)$$

$$\text{ここで } I_1 = 0.21 b \frac{h}{a} \left(\frac{a}{h-a} \right)^{\frac{1}{K U_*}} \int_{y/h}^1 \left(\frac{1-y}{y} \right)^{\frac{1}{K U_*}} dy, \quad I_2 = 0.21 b \frac{h}{a} \left(\frac{a}{h-a} \right)^{\frac{1}{K U_*}} \int_{y/h}^1 \left(\frac{1-y}{y} \right)^{\frac{1}{K U_*}} \log y dy$$

である。 I_1 および I_2 は $\frac{a}{h-a}$ より U_m/U_* の関数として Einstein により図表が与えられている。⁽¹⁵⁾ 流砂量の濃度分布式(1)は粒径ごとに成り立つ。重み合せを考慮した結果が実験的に明らかにされている。また芦田・道上は基底濃度 C_a に対して、浮遊砂の濃度は粒径毎に河床付近で掃流砂のそれに接続している。しかし、掃流砂公式に伍薦吉川芦田公式 ($g_s = \gamma_F U_*^2 / \{(B/s) - 1\} g_a$) を用いて、 $C_a = \frac{g_s}{U_*^2 L_B}$ 、シニに L_B は掃流層厚 ($a = \alpha L_B$)、 U_* は掃流層内の平均流速 ($U_* = 3 U_m$) を採用了。伍薦吉川芦田公式では掃流力と限界掃流力の比 L_B/a がいたい方より大きくなると粒径の影響がなくなくなることになつてゐる。したがつて、掃流力が小さい範囲では遮蔽効果が大きいが、十分大きい掃流力 (L_B/a) の状態では河床砂と掃流砂の粒度分布を近似的にはほぼ等しいと計算することができるであろう。その場合、各粒径毎の基底濃度は、 C_a および L_B をそれを與えられた粒径範囲の砂か河床砂かとに基底濃度に加えて合算すれば、 $C_a = \sum C_a L_B = K F U_*^2 L_B / \{(B/s) - 1\} g_a$ 、 $K = \gamma_F/3$

となる。したがつて、粒径別流砂量を理めた圖形を式(4)を式(3)に代入すれば、

$$g_s = \sum g_s L_B = \frac{K F U_*^2 L_B}{0.21 b \{(B/s) - 1\} g_a} \left\{ \left(\frac{U_m}{U_*} + 1 \right) I_1 + I_2 \right\} \quad (5)$$

を得る。しかし、この式には不確定量が多く含まれている。しかしながら影響するところが大きい。実用的見地からすれば、 a のとり方に流砂量が大きく変化すること、すなはち河床中に占める割合は小さくても小粒砂の浮遊流砂量が非常に大きくなるから、wash load との限界とどこで差があるかが重大な問題となる。また、⁽¹⁶⁾ 砂が指摘するように K の変化の影響は無視することができなく、式(5)に K の式を代入することは複雑にするばかりであるから、掃り出し計算により計算値を修正することも必要である。理學的任何論としては、河床付近の砂の動き、砂遷の形成能と水の流れ方に因應したものが依然として明確ではない。 a は河床材料の粒径 d に比例させる反対に多いが (Funtheim では $a=2d$)、砂遷や水深にも關係がありそうである。もし、 $a=2d$ とすれば、粒径毎に掃流層厚が変化し、それについてもも変化あることになる。掃流層は抗散に于る流砂以外の流砂がまじつている層のこととし、必要なのは半径に沿う C_a ほどのであるから、掃流砂の濃度分布についてはも推測されなければならない。また、遮蔽系数の推移のほかに、河床付近の流砂分布を示す様子は砂遷と直接の関連を有するものであり、Bishop⁽¹⁷⁾ の実験でも明らかに砂遷の影響が無視するとはできない。このように、浮遊流砂量は不明瞭な河床付近の水と砂の流れの影響を大きく受け、実用的には都合の悪い点と見ていいが、これまで多くの精度のよい実験と実測の資料に期待するところが大きいのであるが、当面の技術的要件を満たすために、他の工夫に対する要請は大きい。

4. 実用算定式

流砂濃度と流速分布式から理論式は河床付近の不明確な現象の影響が大きく、現状では多くは期待されない。当面の問題として実用算定式が注目されるべきである。実用算定式としては、Q_s = Q_{s0} × h² I₀^{1/2} あるいは $Q_s = Q_{s0} \times Q^2/A$ の形のものが考へられており、また $Q_{s0} = (I_0/A) Q$ の形のもの⁽¹⁸⁾ Lane⁽¹⁹⁾ により提案されている。遮蔽の測定では全ての河川に於いて $Q_s \propto Q^2$ の関係が認められ、(图-2 参照)、

$$Q_s = (10^6 \sim 10^7) Q^2 \text{ (m sec 単位)}$$

が概念的に提案されている。ただし、遊遊砂は非常に細いが、その粒径別流砂量は考慮外とされている。

シノでは、流れの保有しうる遊遊砂の存量からの考察を進める。実際の流砂の状態は上流の地理的条件や水理条件によるところもあり、流れの保有能力の推定は一つの必要条件の検討にすぎないが、実用算定式の理論的根拠を試行する。現象を平均化で単純化扱い、近似的に $f_s = C_m f$ である。これはまた小さな濃度の鉛直分布が均一に近いときに成り立つ。ところが平衡状態では河床あるいは掃流界に落下する遊遊砂と同じ粒度構成と同量の砂が流れの中にまき散らされていながら、落下砂のエネルギーを無視すれば、近似的に一質量速度で重力により落下する砂粒のエネルギー $(f_s - f) g h C_m w$ に等しいエネルギーが、掃流帶砂といは河床から砂を遊遊させながら流れから与えられていなければならない。このエネルギーは流れのうちエネルギーの一部であるから、その割合を ψ ((1) とし) せば $\psi f_s w$ とすれば、

$$C_m = \frac{\psi f_s}{\{(f_s/f) - 1\} \cdot \ln w}$$

$$\therefore \psi_s = \frac{\psi}{(f_s/f) - 1} - \frac{I}{w h} \psi^2 \quad (7)$$

$$\therefore Q_s = \frac{\psi}{(f_s/f) - 1} - \frac{I}{w A} Q^2 \quad (8)$$

となる。式(8)は長方形またはそれに近い断面に適用される。これらの式は吉川の式のむし Lane の式と比較すると意味深い。右は流量によってあまり変化しない量である。図-2 では各河川毎に $\psi_s Q^2$ の直線のまわりにはらつきがあることとも意味深い。4 は広い範囲の実測値および実験資料により検討されたわけではないが、仮に差数として、遊遊砂の平均粒径 0.11mm の 1/2 の実測資料(土研・畠田研究室提供)から、はらつきのある差の平均として求めると、 $\psi = 0.05$ である。一方、実験値から得られた次の推定を試みると、 ψ の値はオーダー的に実験値と一致する。これは予想されたことであるが、やはり小さい値を示している。

(参考文献) (1) (2) 建設省土木研究所: 河床変動の國立研究 第19回、第20回 土木技術研究発表会 SF.0.11 S.41.11

(3) 道路省中部地方建設局、木曽川下流工事事務所: 長良川河床変動調査

(4) (5) 江原・畠田: 河川の土砂の流送、国立研究、土木研究所報告第10号 S.33.8

(6) 畠田・高木: 游遊流砂を伴う場合の河床変動、川河、第10回水理学講演会 S.41.2

(7) H.A. Einstein: The Bed-load Function for Sediment Transport in Open channel flow, United States Department of Agriculture Soil Conservation Service, Tech. Bull. No. 1026, 1950

(8) 稲葉一郎: 流砂、水工手册解説 S.41.8

(9) Bishop, Simons, and Richardson: Total Bed Material transport, A.S.C.E H/2, 1965

(10) E.W. Lane: the Importance of Fluvial Morphology in Hydraulic Engineering, Proc. A.S.C.E. vol. 87, 1955.

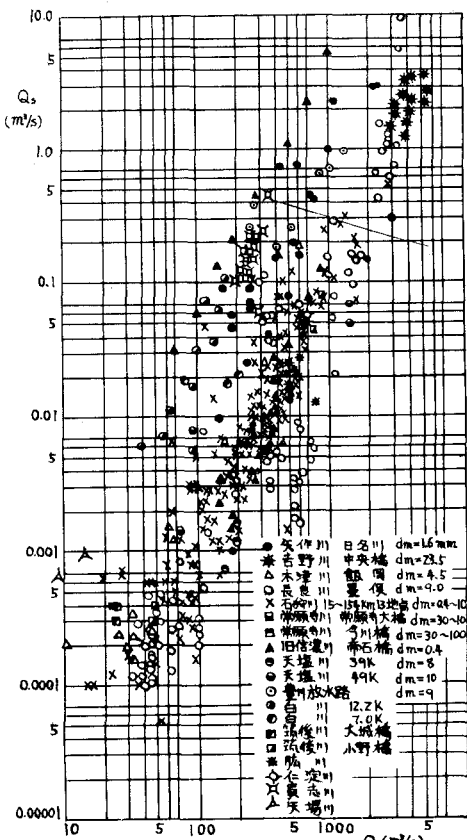


図-2 実測遊遊砂量と流量の関係